

บทที่ 4

ผลการทดลอง

ผลการทดลองที่ 1

การประเมินคุณภาพและสถานะของเซลล์สุจิในน้ำเชื้อสุก

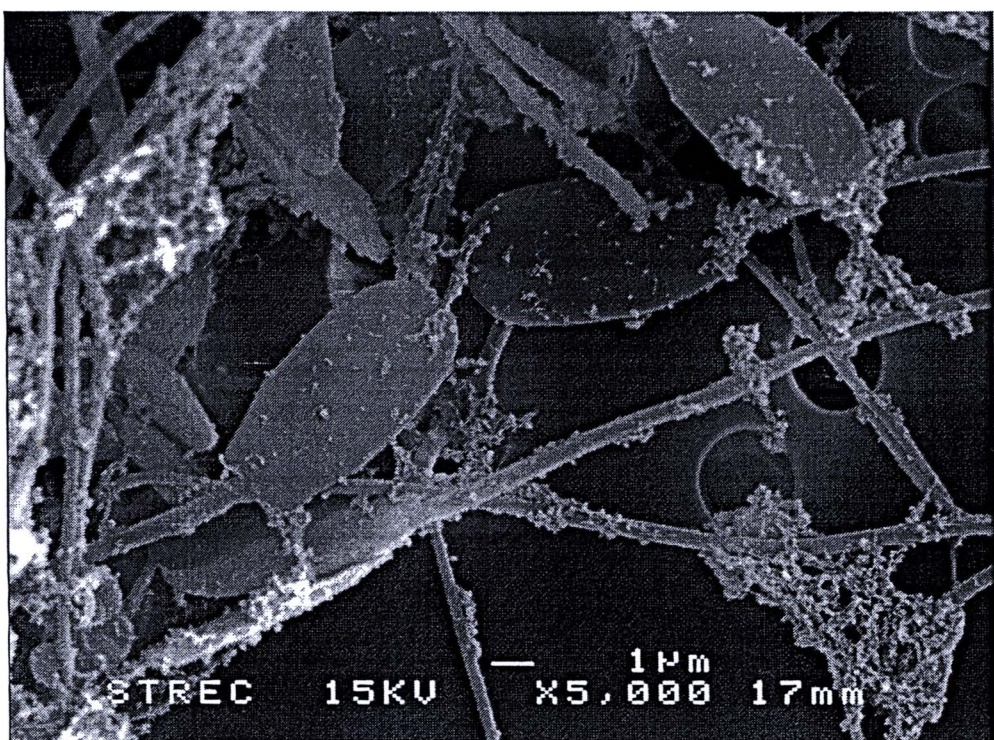
น้ำเชื้อสุกที่รีดได้จากพ่อสุกรทั้ง 3 สายพันธุ์ มีคุณภาพมาตรฐานตามที่กำหนด ก่อนที่จะนำไปผ่านกระบวนการแพะแข็ง ดังแสดงในตารางที่ 1 โดยมีอัตราการเคลื่อนที่ไปข้างหน้า >75% จำนวนเซลล์อสุจิมีชีวิต >75% โดยสุกรพันธุ์ดูร์อค จะมีแนวโน้มของเซลล์อสุจิที่มีอัตราการเคลื่อนไหวและจำนวนเซลล์อสุจิที่มีชีวิตอยู่ในอัตราที่ดีกว่าสุกรพันธุ์เดนค์เลชและลาร์จไวท์ เมื่อตรวจสอบสถานะการเกิดปฏิกิริยาปะซิเตชั่นและสภาพของ acrosome ของเซลล์อสุจิ พบว่า เซลล์อสุจิจากสุกรทั้ง 3 สายพันธุ์ มีจำนวนเซลล์อสุจิที่มีเยื่อหุ้มเซลล์ที่อยู่ในสภาพสมบูรณ์ (F-pattern, intact spermatozoa) 78-80% และมีสภาพของ acrosome ที่สมบูรณ์อยู่ที่ 75-80% นอกจากนี้ สถานะของเซลล์อสุจิที่เกิดปฏิกิริยาปะซิเตชั่นตามธรรมชาติจะอยู่ที่ 15-18% และเกิด acrosome reaction ที่ 4-5%

ตารางที่ 2.2ค่าเฉลี่ย ± ค่าเบี่ยงเบนมาตรฐาน (Mean ± SD) ของคุณภาพน้ำเชื้อสุกและสถานะของเซลล์ในน้ำเชื้อสุกรสุดก่อนเข้าสู่กระบวนการแพะแข็งในพ่อสุกร 3 สายพันธุ์

Sperm Parameter	Duroc	Landrace	Large White
Volume (ml)	173.25±50.68	186.00±38.40	233.00±96.56
Concentration ($\times 10^6$ /ml)	407.25±25.17	382.25±25.17	308.25±87.84
Progress motility (%)	81.25±2.50	78.75±4.68	75.50±5.00
Viability (%)	84.25±6.33	78.37±7.11	75.77±12.42
Capacitation status (%)			
F-pattern	79.87±5.10	80.25±5.73	78.25±3.30
B-pattern	15.37±1.70	14.75±5.61	18.25±3.77
AR-pattern	4.75±4.01	5.00±1.82	3.50±1.29
Acrosome integrity (%)			
Intact acrosome	80.75±11.80	81.50±4.91	74.75±8.30

ลักษณะของเยื่อหุ้มเซลล์สูจิจากกล้องจุลทรรศน์อิเล็กตรอนแบบส่องกราด

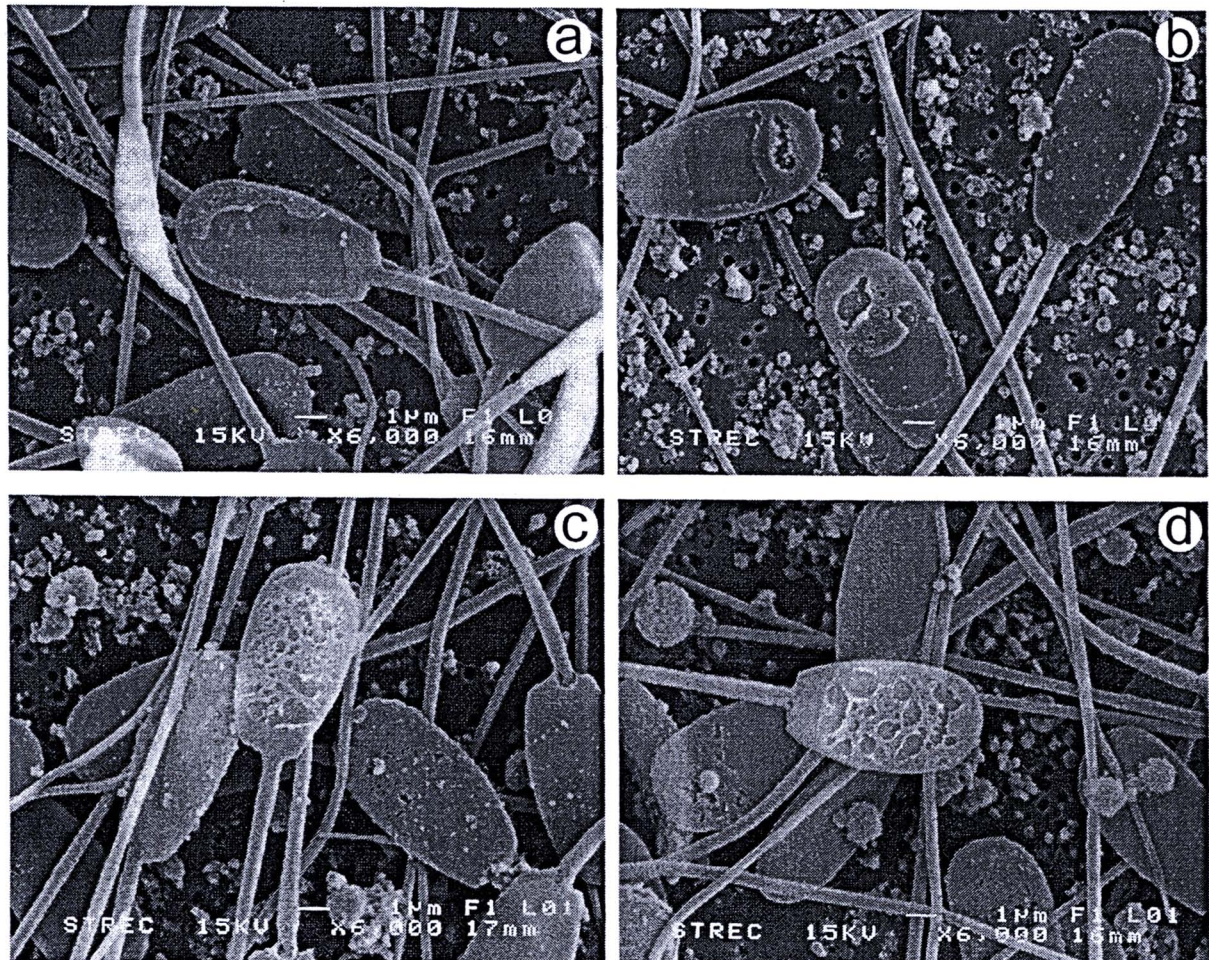
ลักษณะเยื่อหุ้มเซลล์สูจิที่พับในน้ำเชื้อสัดของพ่อสูกรหัง 3 สายพันธุ์ เมื่อตรวจสอบภายใต้กล้องจุลทรรศน์อิเล็กตรอนแบบส่องกราด พบว่า เซลล์สูจิโดยส่วนใหญ่มีลักษณะเยื่อหุ้มเซลล์ที่เรียบสมบูรณ์ ไม่พบร่องรอยความเสียหายหรือฉีกขาด อาจพบเศษของสารหรือโปรตีนที่เป็นส่วนประกอบของน้ำเชื้อภาวะอยู่บนผิวเด็กน้อย (รูปที่ 2.5)



รูปที่ 2.5 เซลล์สูจิที่กระเจาอยู่ในน้ำเชื้อสัดของพ่อสูกรหัง 3 สายพันธุ์ ตรวจด้วยกล้องจุลทรรศน์อิเล็กตรอนแบบส่องกราด (SEM) แสดงลักษณะของเยื่อหุ้มเซลล์สูจิที่พับมีความสมบูรณ์ ไม่พบร่องรอยความเสียหายหรือฉีกขาด (กำลังขยาย x5000)

ในขณะที่ เซลล์สูจิที่พับในน้ำเชื้อของพ่อสูกรหัง 3 สายพันธุ์ ที่ผ่านกระบวนการแช่แข็ง และเติมสารต้านอนุมูลอิสระ L-cysteine ที่ความเข้มข้น 0, 5, 10 และ 15 mMol (รูปที่ 2.6a-d) พบว่า ลักษณะของเยื่อหุ้มเซลล์สูจิเมื่อตรวจส่องภายใต้กล้องจุลทรรศน์อิเล็กตรอนแบบส่องกราด สามารถพบร่องรอยความเสียหายหรือฉีกขาดเกิดขึ้นกับเซลล์สูจิในลักษณะที่แตกต่างกันไป ตั้งแต่การพบรอย

ถลอกของเยื่อหุ้มเซลล์แต่เยื่อหุ้มไม่ถลอกหลุด หรือลักษณะที่เยื่อหุ้มเซลล์ถลอกหลุดไปเกือบหมด โดยเซลล์สูจิดังกล่าวในกระบวนการปะปนอยู่กับเซลล์สูจิที่มีสภาพเยื่อหุ้มเซลล์ที่สมบูรณ์



รูปที่ 2.6 เซลล์สูจิในน้ำเชื้อของพ่อสุกรที่ผ่านกระบวนการแช่แข็ง ที่มีการเติม L-cysteine ที่ความเข้มข้น 0 mMol (a), 5 mMol (b), 10 mMol (c) และ 15 mMol (d) เมื่อตรวจสอบด้วยกล้องจุลทรรศน์อิเล็กตรอนแบบส่อง粒 (SEM) สังเกตลักษณะความเสียหายของเยื่อหุ้มเซลล์สูจิที่เกิดขึ้นในลักษณะที่แตกต่างกันและพบได้ในน้ำเชื้อแช่แข็งที่เติมและไม่เติม L-cysteine(กำลังขยาย x6000)



การประเมินคุณภาพและสถานะของเซลล์อสูจิในน้ำเชื้อพ่อสูกรที่ผ่านกระบวนการแช่แข็ง

ภายหลังกระบวนการแช่แข็ง ได้มีการประเมินคุณภาพและสถานะของเซลล์อสูจิในน้ำเชื้อพ่อสูกรทั้ง 3 สายพันธุ์ โดยในตารางที่ 2.3 แสดงถึงอัตราการเคลื่อนที่ไปข้างหน้า ปริมาณเซลล์อสูจิที่มีชีวิต เมื่อตรวจสอบด้วยการย้อม SYBR-14/PI และความสมบูรณ์ของอะโครโซมด้วยการย้อม FITC-PNA ผลการตรวจสอบไม่พบความแตกต่างของมีนัยสำคัญทางสถิติ เมื่อวิเคราะห์พารามิเตอร์ดังกล่าวในแต่ละสายพันธุ์ อย่างไรก็ได้ เซลล์อสูจิในน้ำเชื้อพ่อสูกรที่ผ่านการแช่แข็งซึ่งใส่ L-cysteine ในปริมาณ 10 mMol จะมีแนวโน้มของเซลล์อสูจิที่มีอัตราการเคลื่อนที่ไปข้างหน้า การมีชีวิต และความสมบูรณ์ของอะโครโซมสูงกว่าในน้ำเชื้อแช่แข็งที่ไม่ใส่ L-cysteine และที่ใส่ L-cysteine ที่ 5 และ 15 mMol ตารางที่ 2.3ค่าเฉลี่ย \pm ค่าเบี่ยงเบนมาตรฐาน (Mean \pm SD) ที่แสดงคุณภาพและสถานะของเซลล์อสูจิภายหลังการแช่แข็งน้ำเชื้อสูกรซึ่งใช้ L-cysteine ที่ความเข้มข้นแตกต่างกันในพ่อสูกร 3 สายพันธุ์

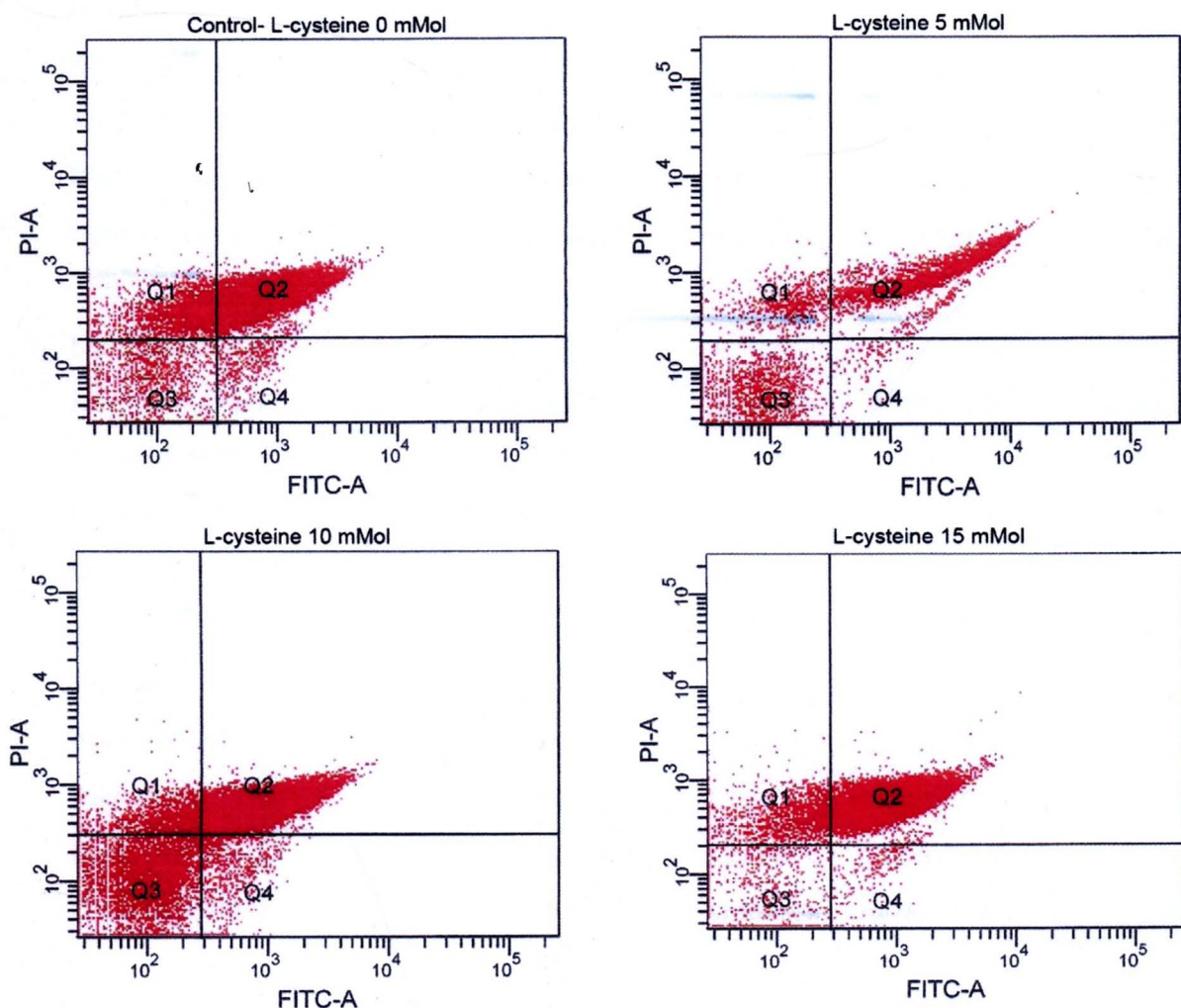
Sperm parameters (%)	Concentration of L-cysteine			
	0 mMol	5 mMol	10 mMol	15 mMol
Duroc (n=4)				
Progress motility	35.1 \pm 19.1	32.5 \pm 15.5	48.7 \pm 13.1	23.7 \pm 18.8
Sperm viability	39.6 \pm 11.1	50.5 \pm 15.8	59.0 \pm 13.6	37.1 \pm 14.9
Intact acrosome	45.1 \pm 11.2	48.2 \pm 8.4	50.4 \pm 12.4	35.7 \pm 4.8
Landrace (n=4)				
Progress motility	31.2 \pm 19.3	33.7 \pm 14.9	43.7 \pm 4.8	25.0 \pm 5.8
Sperm viability	32.3 \pm 18.1	25.1 \pm 8.3	41.8 \pm 24.5	23.6 \pm 9.0
Intact acrosome	42.0 \pm 3.6	49.7 \pm 5.5	53.8 \pm 3.6	43.2 \pm 4.7
Large White (n=4)				
Progress motility	23.7 \pm 12.5	17.5 \pm 9.2	33.7 \pm 4.8	17.5 \pm 9.6
Sperm viability	21.5 \pm 7.5	15.6 \pm 5.4	37.4 \pm 18.2	18.3 \pm 10.5
Intact acrosome	37.8 \pm 8.1	49.1 \pm 6.4	54.6 \pm 4.2	45.6 \pm 1.9

เมื่อตรวจสอบสถานะการเกิดค่าปั๊มชั้นของเซลล์สุจิในน้ำเชื้อพ่อสุกรทั้ง 3 สายพันธุ์ โดยการข้อมด้วยสี CTC (ตารางที่ 2.4) ไม่พบความแตกต่างอย่างมีนัยสำคัญทางสถิติทั้งใน F-pattern, B-pattern และ AR-pattern ของสุกรแต่ละสายพันธุ์ แต่เมื่อพิจารณาถึงลักษณะของ F-pattern ซึ่งบ่งชี้ถึงปริมาณของเซลล์สุจิที่มีชีวิตโดยมีเยื่อหุ้มเซลล์ที่สมบูรณ์ พนว่า เซลล์สุจิในน้ำเชื้อพ่อสุกรที่ผ่านกระบวนการแช่แข็งซึ่งใส่ L-cysteine ในปริมาณ 10 mMol มีแนวโน้มสูงขึ้นมากกว่าเซลล์สุจิในน้ำเชื้อแข็งอ่อนๆ

ตารางที่ 2.4ค่าเฉลี่ย ± ค่าเบี่ยงเบนมาตรฐาน (Mean ± SD) แสดงสถานะของเซลล์สุจิภายหลังการแช่แข็งน้ำเชื้อสุกรซึ่งใช้ L-cysteine ที่ความเข้มข้นแตกต่างกันในสุกร 3 สายพันธุ์โดยผ่านการตรวจสอบด้วยวิธี CTCstaining

Capacitation status (%)	Concentration of L-cysteine			
	0 mMol	5 mMol	10 mMol	15 mMol
Duroc (n=4)				
F-pattern	33.7±15.7	35.2±7.5	45.0±7.5	30.2±8.6
B-pattern	23.7±9.6	25.0±6.2	28.7±8.4	27.2±16.4
AR-pattern	42.5±21.1	39.2±12.9	26.2±6.0	42.5±16.1
Landrace (n=4)				
F-pattern	15.25±5.9	21.5±6.2	29.7±8.5	19.0±5.7
B-pattern	54.0±23.1	51.0±23.6	50.3±14.1	54.0±23.1
AR-pattern	30.8±22.4	27.3±17.7	20.0±8.0	27.1±20.8
Large White (n=4)				
F-pattern	16.7±7.1	20.5±2.6	23.5±5.9	18.5±3.6
B-pattern	62.3±3.5	57.0±4.0	61.3±11.3	67.3±11.1
AR-pattern	21.0±6.3	22.5±6.5	15.3±7.9	14.7±3.7

ในการตรวจสอบสภาพการมีชีวิตและการเปลี่ยนแปลงของเยื่อหุ้มเซลล์สูจิ ให้มีความถูกต้องแน่นอนมากยิ่งขึ้น จึงได้ข้อมูลเซลล์สูจิด้วย Annexin-V/PI แล้ววิเคราะห์ด้วยเครื่อง Flow cytometer (รูปที่ 2.7) ถึงแม้ว่า ผลการทดลองที่ได้จะไม่พบความแตกต่างอย่างมีนัยสำคัญทางสถิติ (ตารางที่ 2.5) แต่สิ่งที่น่าสนใจคือ แนวโน้มของเซลล์สูจิในน้ำเชื้อพ่อสุกรแต่ละสายพันธุ์ที่ผ่านกระบวนการแช่แข็งซึ่งใส่ L-cysteine ในปริมาณ 10 mMol ที่อยู่ในสภาพมีชีวิตและมีเยื่อหุ้มเซลล์สมบูรณ์ (AN-/PI-) มีอัตราสูงขึ้นมากกว่าเซลล์สูจิในน้ำเชื้อแช่แข็งอื่นๆ



รูปที่ 2.7 FCS/SCC two-dimensional histogram แสดงผลการข้อมูลเซลล์สูจิด้วย Annexin-V/PI จากการวิเคราะห์ด้วยเครื่อง flow cytometer ในน้ำเชื้อแช่แข็งที่เติม L-cysteine ใน extender ที่ระดับความเข้มข้น 0, 5, 10 และ 15 mMol สังเกตที่ช่อง Q3 ของน้ำเชื้อสุกรแช่แข็งที่ใส่ L-cysteine ที่ระดับความเข้มข้น 10 mMol จะพบเซลล์สูจิที่มีชีวิตและสภาพเยื่อหุ้มเซลล์ที่สมบูรณ์มากกว่าในกลุ่มความเข้มข้นอื่นๆ

ตารางที่ 2.5ค่าเฉลี่ย ± ค่าเบี่ยงเบนมาตรฐาน (Mean ± SD) แสดงสถานะภาพของเซลล์อสูจิภายในหลังการแช่แข็งนำเข้าสู่กรรชั่งใช้ L-cysteine ที่ความเข้มข้นแตกต่างกันในสูตร 3 สายพันธุ์โดยผ่านการตรวจสอบด้วยวิธี Annexin-V/PI assay และวิเคราะห์ด้วยเครื่อง flow cytometer

Sperm parameters (%)	Concentration of L-cysteine			
	0 mMol	5 mMol	10 mMol	15 mMol
Duroc (n=4)				
Alive: (AN-/PI-)	8.7±2.1	15.1±8.5	24.7±12.2	11.2±9.3
Alive: (AN+/PI-)	0.8±1.0	0.8±1.2	1.6±2.1	0.5±0.5
Dead: (AN-/PI+)	30.4±14.9	15.7±5.9	16.2±8.1	14.8±7.5
Dead: (AN+/PI+)	60.0±12.7	68.2±13.6	57.8±16.6	73.4±15.6
Landrace (n=4)				
Alive: (AN-/PI-)	8.8±5.8	16.3±6.6	19.1±7.7	6.9±4.8
Alive: (AN+/PI-)	2.8±2.0	4.5±3.6	4.8±2.4	4.3±3.9
Dead: (AN-/PI+)	16.3±12.4	8.2±2.0	15.0±12.3	6.3±2.2
Dead: (AN+/PI+)	71.9±18.5	70.9±9.0	60.9±14.7	82.6±7.4
Large White (n=4)				
Alive: (AN-/PI-)	8.6±3.9	11.4±8.2	17.2±9.4	11.0±6.3
Alive: (AN+/PI-)	3.2±2.9	2.7±3.0	4.3±2.5	3.1±3.2
Dead: (AN-/PI+)	10.3±5.6	8.2±3.6	10.6±6.1	10.2±1.6
Dead: (AN+/PI+)	77.9±5.8	77.7±10.9	67.9±16.2	75.8±10.8

เมื่อนำผลการศึกษาที่ได้ในน้ำเชื้อของพ่อสุกรทั้ง 3 สายพันธุ์มาวิเคราะห์ร่วมกันทั้งหมด และตรวจสอบค่าทางสถิติตามพารามิเตอร์ต่างๆ ของเซลล์อสุจิ (ตารางที่ 2.6) พบว่า อัตราการเคลื่อนที่ไปข้างหน้าและปริมาณของเซลล์อสุจิที่มีชีวิตในน้ำเชื้อที่ผ่านการแช่แข็งซึ่งใส่ L-cysteine ที่ 10 mMol มีความแตกต่างอย่างมีนัยสำคัญ ($P < 0.05$) เมื่อเปรียบเทียบกับน้ำเชื้อที่ใส่ L-cysteine ที่ 5 และ 15 mMol แต่ไม่พบความแตกต่างในน้ำเชื้อกลุ่มควบคุมที่สำคัญ พบว่า ปริมาณของเซลล์อสุจิที่มีอะโครโซมที่สมบูรณ์ (intact acrosome) ปริมาณของเซลล์อสุจิมีชีวิตที่มีเยื่อหุ้มเซลล์สมบูรณ์ (F-pattern) และปริมาณเซลล์อสุจิที่มีชีวิตที่มีเยื่อหุ้มเซลล์ปกติที่ไม่ติดสี (AN-/PI-) ในน้ำเชื้อที่ใส่ L-cysteine ที่ 5 และ 10 mMol มีความแตกต่างอย่างมีนัยสำคัญ ($P < 0.05$) เมื่อเปรียบเทียบกับน้ำเชื้อที่ใส่ L-cysteine 15 mMol และน้ำเชื้อกลุ่มควบคุม อย่างไรก็ตี ปริมาณของเซลล์อสุจิที่มีชีวิตทั้ง 3 พารามิเตอร์ในน้ำเชื้อพ่อสุกรที่ใส่ L-cysteine ที่ 10 mMol จะมีแนวโน้มสูงกว่าเซลล์อสุจิในน้ำเชื้อพ่อสุกรที่ใส่ L-cysteine ที่ 15 mMol

ตารางที่ 2.ค่าเฉลี่ย ± ค่าเบี่ยงเบนมาตรฐาน (Mean ± SD) ของคุณภาพน้ำเชื้อและสถานะของเซลล์สุจิภายหลังการแช่แข็งน้ำเชื้อสุกรโดยวิเคราะห์รวมทั้ง 3 สายพันธุ์ซึ่งใช้ L-cysteine ที่ความเข้มข้นแตกต่างกัน

Sperm parameters (%)	Concentration of L-cysteine			
	0 mMol	5 mMol	10 mMol	15 mMol
Progress motility (n=12)	30.1±16.1 ^{ab}	25.9±14.5 ^a	42.1±10.1 ^b	22.1±11.9 ^a
Sperm viability (n=12)	39.6±11.1 ^{ab}	29.7±18.5 ^a	46.1±20.0 ^b	31.2±12.9 ^a
Intact acrosome (n=12)	42.7±9.2 ^a	48.0±7.6 ^b	52.9±7.3 ^b	40.7±6.8 ^a
F-pattern (n=12)	21.9±8.7 ^a	25.7±5.7 ^b	32.7±11.5 ^b	22.5±8.1 ^a
B-pattern (n=12)	46.6±19.6 ^a	44.5±17.5 ^a	46.8±24.3 ^a	49.5±19.4 ^a
AR-pattern (n=12)	31.4±12.1 ^a	29.6±14.03 ^a	20.5±8.1 ^a	27.0±8.2 ^a
Alive: (AN-/PI-) (n=12)	8.7±2.1 ^a	14.3±7.4 ^b	20.3±9.6 ^b	9.7±6.7 ^a
Alive: (AN+/PI-) (n=12)	2.3±2.0 ^a	2.7±2.9 ^a	3.5±2.6 ^a	2.5±3.1 ^a
Dead: (AN-/PI+) (n=12)	18.9±4.7 ^a	10.6±5.3 ^a	13.9±8.7 ^a	10.4±5.5 ^a
Dead: (AN+/PI+) (n=12)	69.9±13.7 ^{ab}	72.3±11.1 ^{ab}	62.2±15.1 ^a	77.2±11.3 ^b

*Values followed by different alphabets within the same row against each parameter were significantly different ($P < 0.05$)

ผลการทดลองที่ 2

พบว่าสุกรนางในกลุ่ม A มีอัตราการตั้งท้องและอัตราเข้าคลอด 100% ให้จำนวนลูกสุกรต่อครอกและจำนวนลูกสุกรมีชีวิต 7.8±3.9 และ 7±3.9 ตามลำดับ ในขณะที่สุกรนางในกลุ่มน้ำเชื้อแข็งในกลุ่ม C มีอัตราการตั้งท้อง อัตราเข้าคลอด จำนวนลูกสุกรต่อครอกและจำนวนลูกสุกรมีชีวิตที่มากกว่า ($P>0.05$) สุกรนางในกลุ่ม D (100% เทียบกับ 60%, 60% เทียบกับ 0% ตามลำดับ; 6±2.7 ตัวเทียบกับ 0 ตัวและ 6±2.7 ตัวเทียบกับ 0 ตัวตามลำดับ) ถึงอย่างไรก็ตามเป็นสิ่งที่ไม่คาดคิดมาก่อนว่าสุกรนางในกลุ่ม D จะกลับสัծตรงรอนหลังจากผสม (ตารางที่ 2.7) และสุกรนางในกลุ่ม B ผสมไม่ติดทั้งหมด

ตารางที่ 2.7 จำนวนลูกสุกรที่คลอดทั้งหมด จำนวนลูกสุกรที่คลอดและมีชีวิต อัตราการตั้งท้อง และ อัตราการเข้าคลอด (Means \pm S.D.) หลังจากผสมเทียนในกลุ่มต่างๆ (Group A=Fresh semen; Group B = Frozen semen + ModenaTM; Group C=Frozen semen + Supernatant (2 billion); Group D=Frozen semen + Supernatant (4 billion))

Parameters	Group A	Group B	Group C	Group D
Pregnancy rate (%)	100 (n=5)	0	100 (n=5)	60 (n=5)
Farrowing rate (%)	80 (n=4)*	-	60(n=3)**	0 (n=5)
Total number of piglet born	7.8 \pm 3.9 (n=4)	-	6.0 \pm 2.7 (n=3)	-
Piglet born alive	7.0 \pm 3.9 (n=4)	-	6.0 \pm 2.7 (n=3)	-

*One sow dead during experiment, **2 sows abortion at 24 days with 6 embryos and 34 days with 9 embryo after insemination